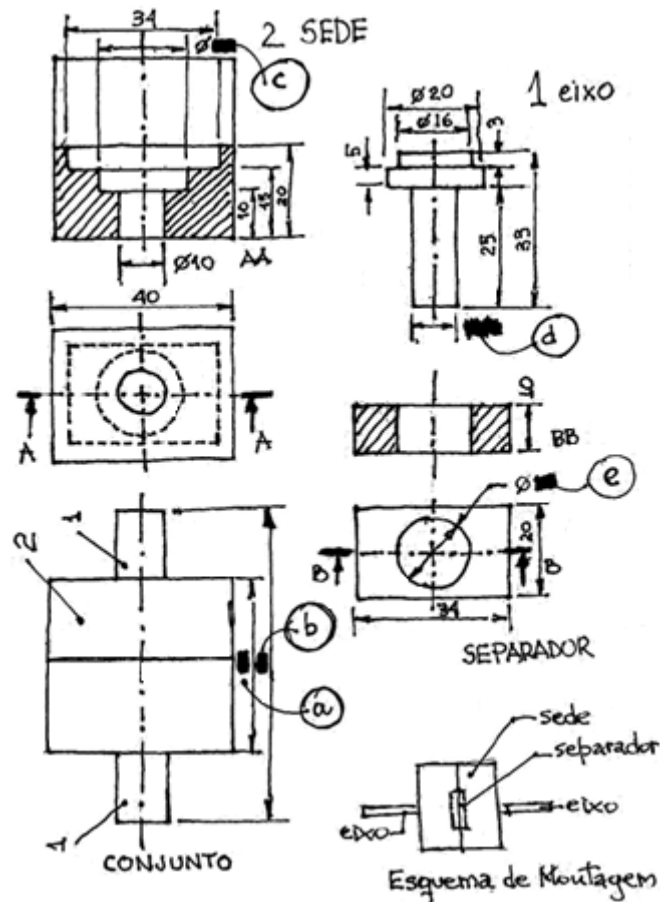


CONHECIMENTOS ESPECIALIZADOS

31) A figura abaixo apresenta esboços cotados de um equipamento composto por 2 eixos, 1 sede e 1 separador. Os 3 componentes foram detalhados em separado do conjunto e há 5 cotas que foram encobertas, sendo indicadas pelas letras a, b, c, d e e, que aparecem no interior dos círculos.

Conjunto – Esboços Cotados



Interprete os esboços e assinale a alternativa em que os valores das cotas estão corretos.

- a) $a = 20$; $b = 50$; $c = \varnothing 16$; $d = \varnothing 10$; $e = \varnothing 16$.
- b) $a = 40$; $b = 64$; $c = \varnothing 16$; $d = \varnothing 10$; $e = \varnothing 16$.
- c) $a = 40$; $b = 64$; $c = \varnothing 20$; $d = \varnothing 10$; $e = \varnothing 16$.
- d) $a = 40$; $b = 70$; $c = \varnothing 20$; $d = \varnothing 10$; $e = \varnothing 16$.

JUSTIFICATIVA DA ALTERNATIVA CORRETA: (LETRA D)

Analisando os dados apresentados, pode-se inferir que:

- a dimensão a infere-se pela simetria da sede, sendo $a = 2 \times 20 = 40$ mm;
- o diâmetro menor do eixo coincide com o furo menor da sede, portanto, $d = 10$ mm;
- o diâmetro intermediário do eixo coincide com o furo do separador, portanto, $e = 16$ mm;
- o diâmetro maior do eixo coincide com o furo maior da sede, portanto $c = 20$ mm; e,
- na montagem a extremidade do eixo ultrapassa a sede em 15 mm, sendo assim, a cota $b = 15 + 40 + 15 = 70$ mm.

Fontes:

- FRENCH, Thomas E.; VIERCK, Charles J. **Desenho técnico e tecnologia gráfica**. 8. ed. São Paulo: Globo, 2009.
- LEAKE, James M.; BORGERSON, Jacob L. **Manual de desenho técnico para engenharia: desenho, modelagem e visualização**. Rio de Janeiro: LTC, 2010.

32) Para medir um cilindro de aço maciço, foram realizados os seguintes procedimentos: mediu-se a(o)

- (1) temperatura ambiente do laboratório usando-se um termômetro de coluna de mercúrio;
- (2) massa do cilindro usando-se um dinamômetro de mola;
- (3) comprimento do cilindro usando-se um paquímetro; e,
- (4) diâmetro do cilindro usando-se um relógio comparador e um bloco padrão.

Considere os seguintes métodos básicos de medição:

- I. Medição direta.
- II. Medição diferencial.
- III. Medição por zeragem ou compensação.

Assinale a alternativa em que a correlação entre os procedimentos realizados e os métodos de medição está correta. Não há obrigatoriedade de que os três tipos de medição tenham sido usados.

- a) 1-I; 2-I; 3-I; 4-II.
- b) 1-II; 2-I; 3-II; 4-III.
- c) 1-II; 2-III; 3-I; 4-I.
- d) 1-III; 2-III; 3-III; 4-I.

JUSTIFICATIVA DA ALTERNATIVA CORRETA: (LETRA A)

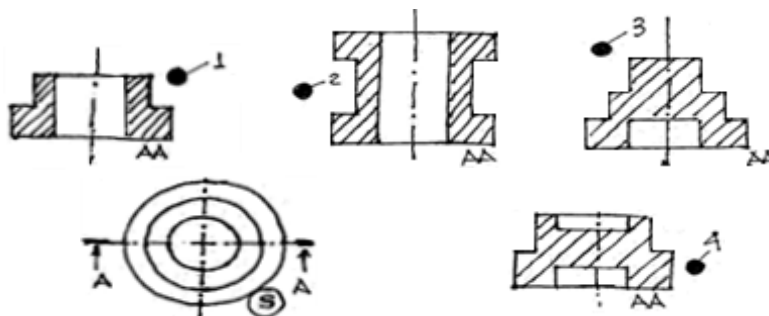
As medições neste caso, usando termômetro, paquímetro e dinamômetro, por definição, são baseadas em leitura direta. O diâmetro foi medido usando a diferença desta grandeza para a dimensão do bloco padrão, portanto, uma medição diferencial e, finalmente, não houve medição por zeragem ou compensação. A alternativa correta é a "A".

Fontes:

- ABERTAZZI JUNIOR, G.; SOUZA, André R. **Fundamentos de metrologia científica e industrial**. Baureri: Manole, 2008.
- LIRA, Francisco Adval de. **Metrologia na indústria**. 3. ed. São Paulo: Erica, 2003.

33) A figura abaixo esboça a vista de uma peça, indicada por S, e quatro cortes AA, numerados de 1 a 4, obtidos de S por meio do plano de corte AA.

Vista e Corte – Esboços



Assinale a alternativa em que todos os cortes podem ser associados a S.

- a) 1, 2 e 4.
- b) 1, 3 e 4.
- c) 2, 3 e 4.
- d) 1, 2 e 3.

JUSTIFICATIVA DA ALTERNATIVA CORRETA: (LETRA B)

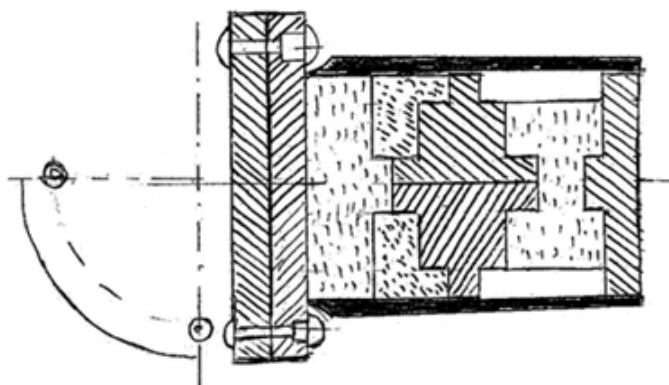
A representação 2 não pode ser associada ao corte, pois as arestas da seção intermediária de diâmetro menor deveriam aparecer como círculos tracejados na vista superior. A única alternativa em que a representação 2 não está listada é a correta.

Fontes:

- FRENCH, Thomas E.; VIERCK, Charles J. **Desenho técnico e tecnologia gráfica**. 8. ed. São Paulo: Globo, 2009.
- LEAKE, James M.; BORGERSON, Jacob L. **Manual de desenho técnico para engenharia: desenho, modelagem e visualização**. Rio de Janeiro: LTC, 2010.

- 34) A figura abaixo representa o corte de um conjunto. Nas alternativas apresentadas a seguir, M1, M2, M3, ..., Mn são usadas para indicar tipos de materiais diferentes e 1x, 2x, ..., nx são usadas para indicar o número de peças de um mesmo material. Assim, por exemplo, 2xM1 indica que há duas peças do material M1.

Corte de Conjunto – Esboço



Assinale a alternativa que descreve a composição correta do conjunto.

- a) 6xM1, 2xM2, 2xM3 e 4xM5.
- b) 5xM1, 3xM2, 1xM3, 1xM4 e 4xM5.
- c) 5xM1, 2xM2, 2xM3, 1xM4 e 4xM5.
- d) 4xM1, 2xM2, 2xM3, 2xM4, 1xM5 e 4xM6.

JUSTIFICATIVA DA ALTERNATIVA CORRETA: (LETRA C)

A solução demanda reconhecer os contornos das diversas peças em corte e o uso de hachuras diferentes para materiais diferentes e hachuras inclinadas a 90° para peças diferentes de mesmo material. Assim, podem ser identificadas: 4 rebites, 5 peças com hachuras de linhas contínuas, 2 peças com hachuras de linhas tracejadas horizontais, 2 peças com hachuras de linhas tracejadas inclinadas e 1 peça enegrecida.

Fontes:

- FRENCH, Thomas E.; VIERCK, Charles J. **Desenho técnico e tecnologia gráfica**. 8. ed. São Paulo: Globo, 2009.
- LEAKE, James M.; BORGERSON, Jacob L. **Manual de desenho técnico para engenharia: desenho, modelagem e visualização**. Rio de Janeiro: LTC, 2010.

- 35) Em uma montagem, deseja-se travar um rotor a um eixo, usando-se um pino cilíndrico ajustado a um furo passante, que atravessa um dos lados do rotor e todo o diâmetro do eixo. Por questões de montagem, o diâmetro desse componente poderá se situar na faixa compreendida entre 5,98 e 6,02 mm. Para verificar as dimensões do pino, antes da montagem, será usado um paquímetro. Em cada uma das opções a seguir, estão indicados, respectivamente, o menor valor da escala fixa (mv) e o número de divisões (nd) da escala móvel de um paquímetro. Assinale a alternativa que apresenta o paquímetro adequado para a medição dos pinos.

- a) mv = 0,025"; nd = 25.
- b) mv = 1,0mm; nd = 20.
- c) mv = 1,0mm; nd = 10.
- d) mv = 1,0mm; nd = 50.

JUSTIFICATIVA DA ALTERNATIVA CORRETA: (LETRA D)

A resolução do instrumento deve ser compatível com 0,02 mm. No paquímetro, isto corresponde à razão entre o valor da menor divisão da escala fixa e o número de divisões da escala móvel.

Fontes:

- ABERTAZZI JUNIOR, G.; SOUZA, André R. **Fundamentos de metrologia científica e industrial**. Baureri: Manole, 2008.
- LIRA, Francisco Adval de. **Metrologia na indústria**. 3. ed. São Paulo: Erica, 2003.

- 36) Em relação ao motor *Diesel* de quatro tempos, assinale a alternativa correta.
- a) O acionamento das velas de ignição ocorre no segundo tempo, chamado compressão.
 - b) A pressão de injeção do combustível é superior a do ar comprimido no interior do cilindro.
 - c) No quarto tempo o êmbolo começa no ponto morto superior e a válvula de exaustão está aberta.
 - d) O ciclo de trabalho compreende uma volta na árvore de manivelas ou quatro cursos completos do êmbolo.

JUSTIFICATIVA DA ALTERNATIVA CORRETA: (LETRA B)

O ciclo de trabalho corresponde a duas voltas na árvore de manivelas. No motor *Diesel* não há velas. No quarto tempo, exaustão, o êmbolo começa no ponto morto inferior.

Fontes:

- CUNHA, Lauro Salles; CRAVENCO, Marcelo Padovani. **Manual Prático do Mecânico**. São Paulo: Hemus, 2006
- CHOLLET, H. M. **Curso prático e profissional para mecânicos de automóveis: o motor e seus acessórios**. São Paulo: Hemus, 1981.

37) Considerando o conjunto das medições referentes ao cilindro maciço, na questão anterior, quantas grandezas de base foram necessárias para estabelecer essas informações?

- a) 1.
- b) 2.
- c) 3.
- d) 4.

JUSTIFICATIVA DA ALTERNATIVA CORRETA: (LETRA C)

As únicas grandezas de base medidas foram: a temperatura do ambiente, o comprimento (do eixo e do diâmetro) e a massa do cilindro.

Fontes:

- ABERTAZZI JUNIOR, G.; SOUZA, André R. **Fundamentos de metrologia científica e industrial**. Baureri: Manole, 2008.
- LIRA, Francisco Adval de. **Metrologia na indústria**. 3. ed. São Paulo: Erica, 2003.

38) Sobre as relações entre a composição e o comportamento de um corpo de prova de aço, de baixo teor de carbono, durante um ensaio de tração, assinale a alternativa **incorreta**.

- a) Na zona elástica, não há deformação permanente, porque a que ocorre desaparece quando cessa o carregamento.
- b) Na zona plástica, não há somente deformação elástica, porque apenas uma parte da deformação desaparece quando cessa o carregamento.
- c) Os defeitos pontuais na estrutura cristalina do material são os que mais contribuem para o aparecimento da deformação plástica, através da migração de vazios, quando o corpo se encontra na zona plástica.
- d) Os defeitos lineares na estrutura cristalina do material são os que mais contribuem para o aparecimento da deformação plástica, através do escorregamento dos planos cristalinos, quando o corpo se encontra na zona plástica.

JUSTIFICATIVA DA ALTERNATIVA CORRETA: (LETRA C)

A alternativa **incorreta** é a “C”, pois os defeitos pontuais contribuem eventualmente com o aparecimento da zona plástica, mas são os defeitos lineares (discordâncias) que preponderam no fenômeno.

Fontes:

- CALLISTER JUNIOR, Willian D. **Uma introdução à engenharia e ciência dos materiais**. 5. ed. São Paulo: LTC, 2008.
- GARCIA, A.; SPIM, J. A.; SANTOS, C. A. **Ensaio de materiais**. Rio de Janeiro: LTC, 2000.
- SOUZA, Sérgio Augusto. **Ensaio mecânicos de materiais metálicos**. 5. ed. São Paulo: Edgard Blücher, 1982.

39) O módulo de elasticidade é determinado pelas forças de ligação entre os átomos de um metal. A respeito desse módulo, é correto afirmar que

- a) pode ser afetado por trabalho a frio, que altere a estrutura cristalina.
- b) nos aços austeníticos, varia mais com a temperatura do que nos aços-carbono.
- c) nas ligas de alumínio, varia menos com a temperatura do que nos aços-carbono, até 450°C, aproximadamente.
- d) é uma propriedade constante do material, porque as forças de ligação atômica são constantes para cada estrutura cristalina.

JUSTIFICATIVA DA ALTERNATIVA CORRETA: (LETRA A)

A alternativa correta é a “A”, visto que retrata o fenômeno do encruamento. As demais encontram-se incorretas, pois afirmam o contrário do que é correto.

Fontes:

- CALLISTER JUNIOR, Willian D. **Uma introdução à engenharia e ciência dos materiais**. 5. ed. São Paulo: LTC, 2008.
- GARCIA, A.; SPIM, J. A.; SANTOS, C. A. **Ensaio de materiais**. Rio de Janeiro: LTC, 2000.
- SOUZA, Sérgio Augusto. **Ensaio mecânicos de materiais metálicos**. 5. ed. São Paulo: Edgard Blücher, 1982.

40) Quanto aos tratamentos térmicos dos aços, que recebem denominações diferentes de acordo com a velocidade de esfriamento ou com o produto obtido, assinale a alternativa correta.

- a) Na normalização, o resfriamento do campo austenítico é rápido, obtendo-se perlita fina esferoidizada.
- b) **No recozimento, o resfriamento do campo austenítico é lento, obtendo-se ferrita mais perlita se o aço for hipoeutetoide.**
- c) No recozimento, o resfriamento do campo austenítico é rápido, obtendo-se ferrita mais perlita se o aço for hipereutetoide.
- d) Na normalização, o resfriamento do campo austenítico é lento e ocorre a globulização da cementita, que faz parte da perlita.

JUSTIFICATIVA DA ALTERNATIVA CORRETA: (LETRA B)

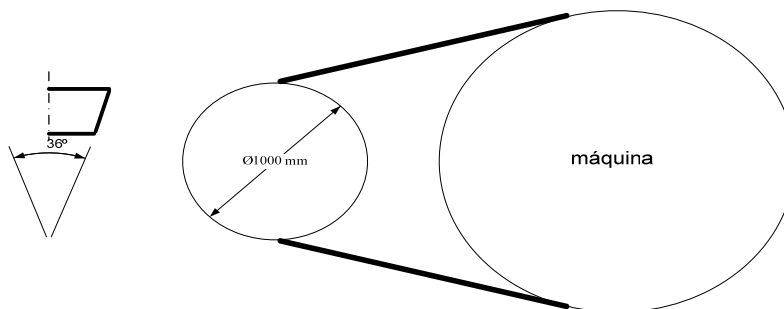
A alternativa correta é a “B”. As demais encontram-se incorretas, pois apresentam erros grosseiros entre as fases descritas e o tratamento proposto, assim como no que se refere à velocidade dos processos de resfriamento.

Fonte:

- CHIAVERINI, Vicente. **Aços e ferros fundidos: características gerais, tratamentos térmicos, principais tipos**. 7. ed. São Paulo: Associação Brasileira de Metalurgia e Materiais, 2008.
- CHIAVERINI, Vicente. **Tecnologia mecânica: processos de fabricação e tratamento**. 2. ed. São Paulo: Mcgraw-Hill, 1986.

41) Uma transmissão por múltiplas correias trapezoidais permitirá que um motor de 18 kW e 1750 rpm, acoplado a uma polia de diâmetro 1000 mm, acione uma máquina, conforme a representação abaixo.

Sistema de transmissão por correias trapezoidais



Neste caso, deseja-se que a máxima força atuando em cada correia não ultrapasse 984N. A máxima força centrífuga atuando na correia é 20N, o coeficiente de atrito entre a correia e a polia é 0,2 e o ângulo de abraçamento da polia menor é 160°. A seção reta da correia está indicada na figura. Quantas correias serão necessárias para essa transmissão? (Considere: $e^{(f\varphi / \text{sen}\beta)} = 6,0$; $v_{\text{correia}} = \omega r = 100 \text{ m/s.}$)

- a) **1,0.**
- b) 2,0.
- c) 3,0.
- d) 4,0.

JUSTIFICATIVA DA ALTERNATIVA CORRETA: (LETRA A)

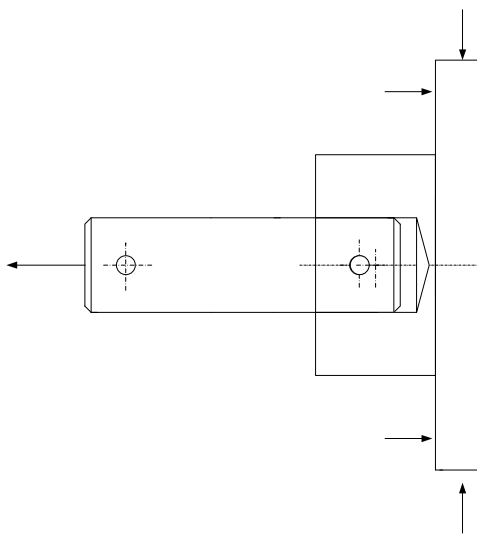
A expressão para transmissões deste tipo $(F_1 - F_c)/(F_2 - F_c) = e^{f\theta}/\sin\beta$. Dos dados $f = 0,20$; $\theta = 160^\circ (= 2,79\text{rd})$; $e, 2\beta = 36^\circ$. A força centrífuga é 20N e a máxima força, $F_1 = 984\text{N}$. Calcula-se $F_2 = 184\text{N}$ e o torque $T = (F_1 - F_2) \cdot r = 400\text{N.m}$. A velocidade linear é $v = \omega \cdot r = 100 \text{ ms}^{-1}$ e o número de correias será a razão entre a potência a ser transmitida e a potência transmissível por cada correia = $(18000/40000) = 0,45$ correias. Portanto, será necessária 1 (uma) correia.

Fontes:

- SHIGLEY, Joseph Edward. **Elementos de Máquinas**. Rio de Janeiro: LTC, 1984.
- SHIGLEY, J. E.; MISCHKE, C. R.; BUDYNAS, R. G. **Projeto de Engenharia Mecânica**. 7. ed. Porto Alegre: Bookman, 2005.

42) A figura abaixo, apresenta um eixo, que está sendo solicitado por uma força axial, enquanto a roda está travada por forças normais e radiais. Na figura está indicado um pino que tem diâmetro 6,0 mm e comprimento igual ao diâmetro do cubo da roda. Considere que todos os componentes são de aço com limite de escoamento de 210 MPa e 300 MPa de limite de ruptura à tração, 140 MPa e 200 MPa, para cisalhamento, respectivamente. O ajuste entre o eixo e o furo do cubo da roda determina uma força de atrito de 500 N.

Eixo e roda sobre tração



Determine o menor valor da força que atua sobre o eixo capaz de romper a ligação entre este componente e a roda. Assinale a alternativa que apresenta o valor correto. ($A_{\text{pino}} = 28,26 \text{ mm}^2$)

- a) 5.904N.
- b) 11.304N.
- c) **11.809N.**
- d) 16.956N.

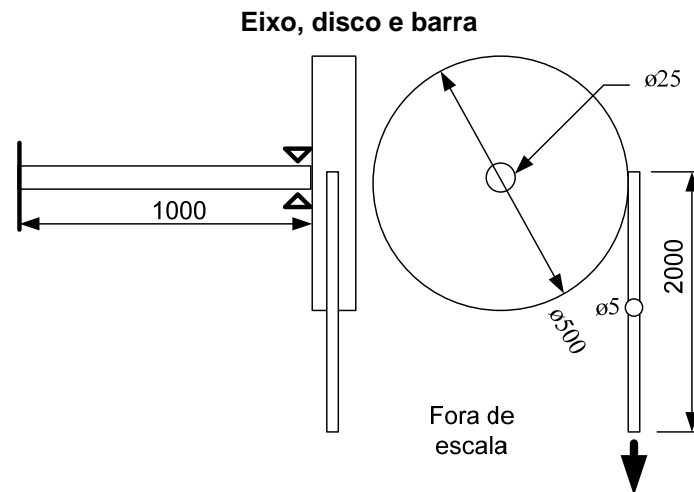
JUSTIFICATIVA DA ALTERNATIVA CORRETA: (LETRA C)

O rompimento da ligação ocorrerá quando a tensão de cisalhamento, atuando em quaisquer das duas seções do pino, ultrapassar o limite de ruptura do material ao cisalhamento. A força de atrito deverá ser vencida primeiro. Assim, $(F - F_{\text{at}})/2 \times A_{\text{pino}}$, no limite, se iguala ao limite de ruptura ao cisalhamento (200MPa). A força será $11304\text{N} + 500\text{N} = 11809\text{N}$.

Fontes:

- BEER, Ferdinand P. **Resistência dos Materiais: Mecânica dos Materiais**. 4. ed. Porto Alegre: AMGH, 2010.
- MELCONIAN, Sarkis. **Mecânica técnica e resistência de materiais**. 18. ed. São Paulo: Érica, 2011.

43) A figura a seguir está representando um conjunto composto de um eixo, um disco e uma barra. O eixo tem uma extremidade fixa e a outra presa ao disco e apoiada em um mancal rígido, que permite rotação, mas impede movimentos radiais. A barra é presa tangente ao disco. O disco tem rigidez infinita em comparação à barra e ao eixo. Considere que $G_{\text{eixo}} = 5 \text{ GPa}$ e $E_{\text{barra}} = 3 \text{ GPa}$. A carga aplicada à extremidade inferior da barra é 3000N. Todas as cotas na figura estão em mm.



Determine o valor do deslocamento vertical e para baixo da extremidade carregada da barra. Assinale a alternativa que apresenta o valor correto.

- a) 0,00391mm.
- b) 0,101mm.
- c) 0,977mm.
- d) 1,078mm.

JUSTIFICATIVA DA ALTERNATIVA CORRETA: (LETRA D)

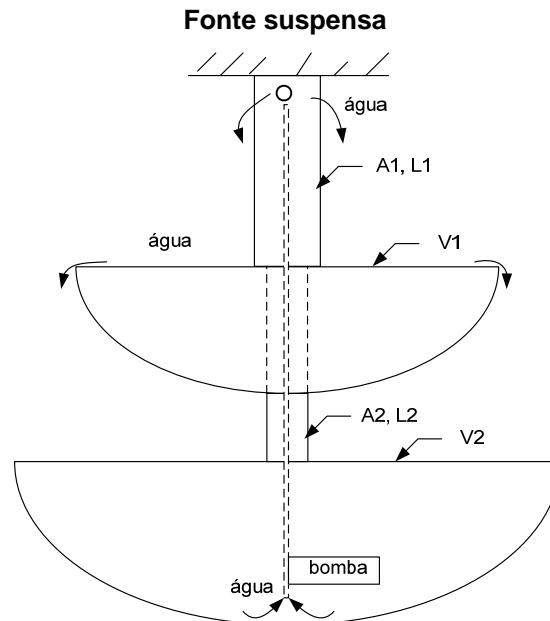
O deslocamento da extremidade da barra será a soma do alongamento da barra e do deslocamento para baixo de sua extremidade presa ao disco, quando este girar em função da torção do eixo. O alongamento da barra $\Delta_{\text{barra}} = \frac{3000 \times 2000}{3 \text{ GPa} \times A_{\text{barra}}} = 0,101 \text{ mm}$. O ângulo de torção do eixo é $\theta_{\text{eixo}} = \frac{TL}{GJ} = \frac{(3000 \cdot 500/2) \times 1000}{5 \text{ GPa} \times J_{\text{eixo}}} = 0,00391 \text{ rd}$. Considerando o deslocamento linear da barra $D_{\text{barra}} = r_{\text{disco}} \times \theta_{\text{disco}} = 250 \text{ mm} \times 0,00391 \text{ rd} = 0,977 \text{ mm}$. E o deslocamento vertical da extremidade carregada da barra é $0,977 + 0,101 = 1,078 \text{ mm}$.

Fontes:

- BEER, Ferdinand P. **Resistência dos Materiais: Mecânica dos Materiais**. 4. ed. Porto Alegre: AMGH, 2010.
- MELCONIAN, Sarkis. **Mecânica técnica e resistência de materiais**. 18. ed. São Paulo: Érica, 2011.

44) A figura abaixo representa uma fonte suspensa, composta por duas cubas, duas hastes e um sistema de bombeamento. As hastes são concêntricas e estão soldadas entre si e, cada uma, à borda de uma das cubas, por meio de braços radiais, que não foram representados. Há um furo cilíndrico que atravessa as duas hastes e serve de passagem para a água bombeada de baixo para cima, a partir da cuba inferior. A água jorra por furos radiais à haste superior, escorre para a cuba superior e, em seguida, transborda para a cuba inferior. O ciclo se repete sem perda de água. Conforme indicado na figura, a haste superior tem área total $A_1 = 300\text{mm}^2$ e a haste inferior tem área total $A_2 = 200\text{mm}^2$. $L_1 = L_2 = 300\text{mm}$ e o módulo de elasticidade das hastes é $E = 200\text{GPa}$. Considerando-se que $V_1 = 1000\text{l}$, $V_2 = 1500\text{l}$ e a massa específica da água é 1 kg/dm^3 , sendo a massa de cada cuba igual a 0,4 vezes a massa da água que comporta. Cada cuba é, idealmente, rígida e contém o volume V_1 ou V_2 indicado, permanentemente. Desprezando-se o peso das hastes, calcule as distâncias (d_1 e d_2) que cada cuba descerá contada a partir da posição inicial, quando a água ainda não foi introduzida na fonte.

(Considere: $g = 10\text{ms}^{-2}$.)



Assinale a alternativa que apresenta a opção correta.

- a) $d_1 = 0,1575$; $d_2 = 0,1750$.
- b) $d_1 = 0,07875$; $d_2 = 0,665$.
- c) $d_1 = 0,175$; $d_2 = 0,3325$.
- d) $d_1 = 0,315$; $d_2 = 0,350$.

JUSTIFICATIVA DA ALTERNATIVA CORRETA: (LETRA C)

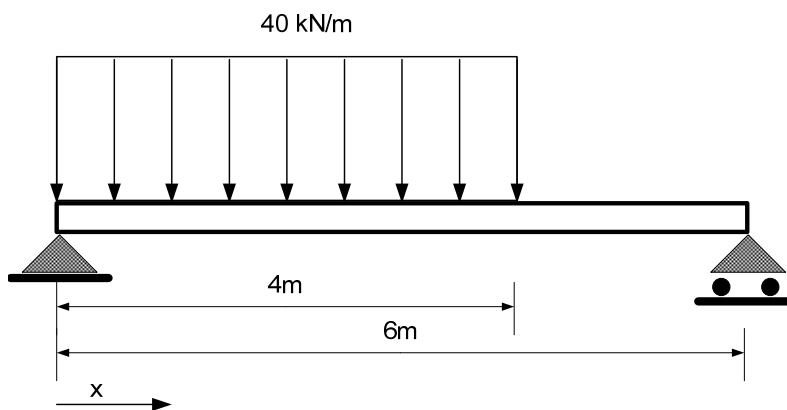
A deformação elástica de cada haste é determinada pela respectiva rigidez e pela carga de tração atuando na seção transversal. Na cuba superior atuam os pesos das duas cubas. Na cuba inferior, apenas o da cuba maior. O deslocamento da cuba inferior será a soma das deformações elásticas das duas hastes. $\text{Deform}(2) = \text{Força}(2) \times L(2) / A(2) \times E(2)$ e $\text{Deform}(1) = \{\text{Força}(1) + \text{Força}(2)\} \times L(1) / A(1) \times E(1)$; $D_1 = \text{Deform}(1)$ e $D_2 = \text{Deform}(1) + \text{Deform}(2)$. $\text{Força}(2) = (1500 \times 10 \times 1) \times 1,4$; $\text{Força}(1) = (2500 \times 10 \times 1) \times 1,4$; $\text{Deform}(2) = 0,1575\text{ mm}$ e $\text{Deform}(1) = 0,175$; $D_1 = 0,175$ e $D_2 = 0,175 + 0,1575 = 0,3325\text{ mm}$.

Fontes:

- BEER, Ferdinand P. **Resistência dos Materiais: Mecânica dos Materiais**. 4. ed. Porto Alegre: AMGH, 2010.
- MELCONIAN, Sarkis. **Mecânica técnica e resistência de materiais**. 18. ed. São Paulo: Érica, 2011.

45) Considere a representação de uma viga biapoiada e com carregamento distribuído presente na figura abaixo.

Viga biapoiada com carregamento distribuído



Qual a localização (x) e o valor do momento fletor máximo (M) atuando na viga?

- a) $x = 3,22$; $M = 89,06\text{kN.m}$.
- b) $x = 2,44$; $M = 141,87\text{kN.m}$.
- c) $x = 3,88$; $M = 106,66\text{kN.m}$.
- d) $x = 2,66$; $M = 141,87\text{kN.m}$.

JUSTIFICATIVA DA ALTERNATIVA CORRETA: (LETRA D)

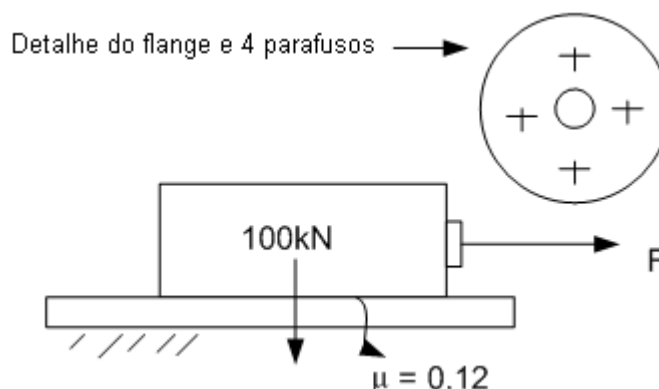
Seja A o ponto extremo esquerda da viga, B o ponto onde termina o carregamento distribuído e C o ponto extremo direito da viga. Do equilíbrio de forças verticais e de momento, $V_A = -106,67\text{kN}$ e $V_C = -53,33\text{kN}$. $V_B - V_A = -160\text{kN}$... $V_B = -53,33\text{kN}$. Seja, ainda, D o ponto com esforço cortante nulo, entre A e B. Por semelhança de triângulos imaginados sobre o diagrama de esforços cortantes, determina-se $AB = 2,66\text{m}$. O momento fletor máximo é calculado como a maior área sob a curva de esforços cortantes e se encontra entre D e A. $M_{\text{máx}} = 141,87\text{kN.m}$.

Fontes:

- BEER, Ferdinand P. **Resistência dos Materiais: Mecânica dos Materiais**. 4. ed. Porto Alegre: AMGH, 2010.
- MELCONIAN, Sarkis. **Mecânica técnica e resistência de materiais**. 18. ed. São Paulo: Érica, 2011.

46) Um bloco de 100kN deve ser arrastado sobre uma superfície plana, pela ação de uma força F constante aplicada em um cabo, conforme a representação abaixo. O cabo está ligado a um disco aparafusado ao bloco por quatro parafusos M10 com passo 1,5 mm, a área da seção resistente (A_t) é 60 mm², a tensão de prova (S_p) é 380 MPa e a tensão de ruptura (S_u) é de 520 MPa. Os parafusos foram encostados manualmente e sem ferramenta, eliminando-se a folga na rosca.

Bloco sendo arrastado sobre superfície plana.



Desprezando a concentração de tensões e considerando o carregamento estático, instantes antes do movimento do bloco começar, qual o fator de segurança sobre a tensão de prova dos parafusos para este arranjo construtivo?

- a) 1,9.
- b) 2,5.
- c) 3,7.
- d) 7,6.

JUSTIFICATIVA DA ALTERNATIVA CORRETA: (LETRA D)

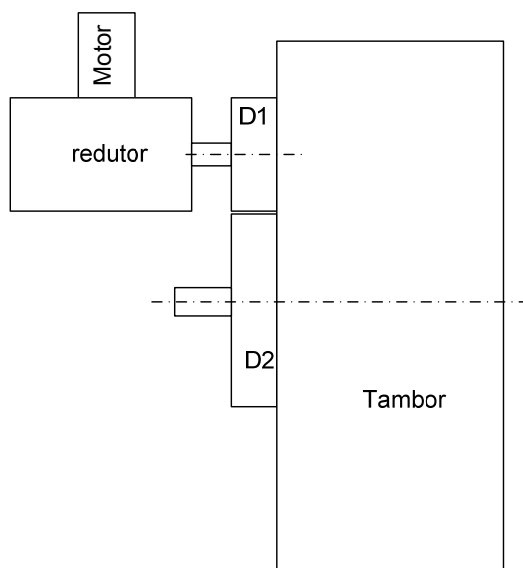
A tensão atuando na seção resistente de cada um dos quatro parafusos é igual a $1/4 \times (100\text{kN} \times \mu / 60\text{mm}^2) = 50\text{MPa}$. O fator de segurança em relação à tensão de prova é $380/50 = 7,6\text{MPa}$.

Fontes:

- SHIGLEY, Joseph Edward. **Elementos de Máquinas**. Rio de Janeiro: LTC, 1984.
- SHIGLEY, J. E.; MISCHKE, C. R.; BUDYNAS, R. G. **Projeto de Engenharia Mecânica**. 7. ed. Porto Alegre: Bookman, 2005.

47) A figura abaixo representa um conjunto composto de motor, redutor, um par de engrenagens cilíndricas de dentes retos (módulo 8,0 mm e ângulo de pressão 20°) externas e um tambor (diâmetro 1,0 m). O motor de 18kW e 1750 rpm está ligado a um redutor de velocidade, cuja relação entre a velocidade de saída e de entrada é 1:14 e o eixo de saída do redutor está ligado a um par de engrenagens (D1 e D2). A engrenagem maior, D2, é concêntrica ao tambor e está ligada a ele.

Representação esquemática de um guincho com tambor.



Um cabo (omitido no desenho), tangente ao tambor é usado para erguer e abaixar uma carga, com velocidade vertical de 3010 mm/s. D1 tem diâmetro primitivo de 184 mm. Qual o número de dentes da engrenagem D2?

- a) 46.
- b) 48.
- c) 50.
- d) 54.

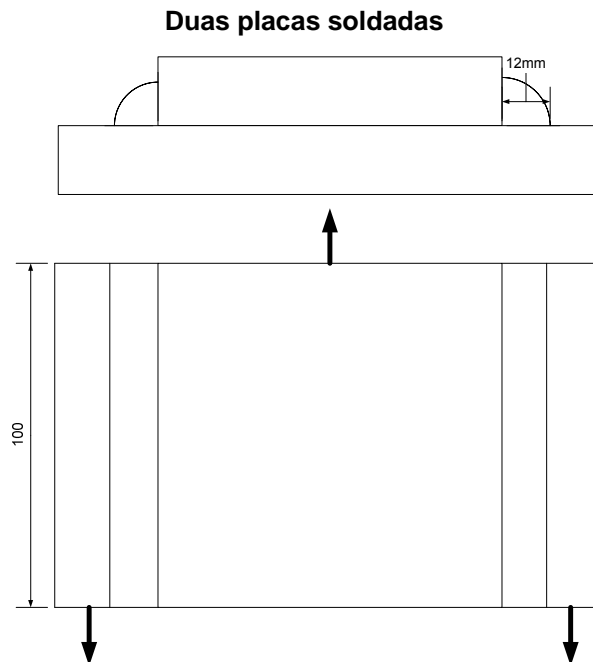
JUSTIFICATIVA DA ALTERNATIVA CORRETA: (LETRA C)

A rotação do tambor, que é a mesma rotação de D₂, é $n_{\text{tambor}} = (3,10\text{m} / 2\pi r_{\text{tambor}}) \times 60 = 57,8\text{rpm}$. A rotação de D₁, que é a mesma rotação da saída do redutor, é $n_{D1} = 1750/14 = 125\text{rpm}$. Assim, a relação entre $D_2/D_1 = 125/57,8 = 2,1748$. Se $D_1 = 184\text{mm}$, $Z_2 = (184 \times 2,1748) / 8,0 = 50$ dentes, aproximadamente.

Fontes:

- SHIGLEY, Joseph Edward. **Elementos de Máquinas**. Rio de Janeiro: LTC, 1984.
- SHIGLEY, J. E.; MISCHKE, C. R.; BUDYNAS, R. G. **Projeto de Engenharia Mecânica**. 7. ed. Porto Alegre: Bookman, 2005.

48) A figura abaixo representa duas chapas de aço com espessura de 12 mm, soldadas através de dois filetes convexos. Sobre as chapas atuam três forças indicadas por setas. O sistema está em equilíbrio estático. As chapas têm larguras de 50 e 70 mm. A largura de cada filete é 12 mm e o comprimento 100 mm. O aço da chapa superior tem limite de escoamento de 210 MPa e o da chapa inferior, 350 MPa. O metal da solda tem limite de escoamento de 320 MPa. O limite de escoamento ao cisalhamento de cada material é sessenta por cento do limite de escoamento à tração e a união deve ser dimensionada com fator de segurança 2,0 sobre o limite de escoamento, à tração ou ao cisalhamento, conforme for o caso.



Qual o valor limite da força aplicada à chapa superior, para que a união permaneça segura?

- a) 63kN.
- b) 126kN.
- c) 162kN.
- d) 271,5kN.

JUSTIFICATIVA DA ALTERNATIVA CORRETA: (LETRA A)

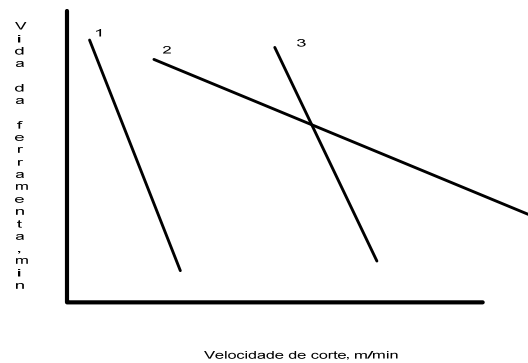
É preciso calcular as tensões normais nas placas e a tensão cisalhante no união soldada. Na chapa menor $\sigma = F / 50 \times 12 \leq 210 \text{MPa} / 2,0$ e $F_{\text{menor}} = 63 \text{kN}$; na chapa maior $\sigma = F / 70 \times 12 \leq 210 \text{MPa} / 2,0$ e $F_{\text{maior}} = 147 \text{kN}$. No filete de solda $F / 2A_{\text{garganta}} = F / 2 \times 0,707 \times (100 \times 12) \leq 0,6 \times 350 \text{MPa} / 2$ e $F_{\text{solda}} = 271,5 \text{kN}$.

Fontes:

- SHIGLEY, Joseph Edward. **Elementos de Máquinas**. Rio de Janeiro: LTC, 1984.
- SHIGLEY, J. E.; MISCHKE, C. R.; BUDYNAS, R. G. **Projeto de Engenharia Mecânica**. 7. ed. Porto Alegre: Bookman, 2005..

- 49) Nos ensaios de longa duração para avaliar a vida das ferramentas de usinagem obtêm-se as chamadas “curvas de vida da ferramenta”. Considere as três curvas indicadas a seguir, cada uma delas corresponde tipicamente a um tipo diferente de material de ferramenta.

Vida de ferramentas para três materiais de ferramenta



Assinale a alternativa que relaciona corretamente os materiais das ferramentas com as curvas numeradas da figura acima.

- a) 1-aço rápido; 2-material cerâmico e 3-metal duro.
- b) 1-metal duro; 2-aço rápido e 3-material cerâmico.
- c) 1-material cerâmico; 2-aço rápido e 3-metal duro.
- d) 1-aço rápido; 2-metal duro e 3-material cerâmico.

JUSTIFICATIVA DA ALTERNATIVA CORRETA: (LETRA A)

De acordo com a literatura, a alternativa correta é a “A”.
GENTIL, Vicente. **Corrosão**. 3. ed. Rio de Janeiro: LTC, 1996.

Fontes:

- CHIAVERINI, Vicente. **Tecnologia mecânica: processos de fabricação e tratamento**. 2. ed. São Paulo: Mcgraw-Hill, 1986.
- GENTIL, Vicente. **Corrosão**. 3. ed. Rio de Janeiro: LTC, 1996.
- MACHADO, Álisson Rocha *et al.* **Teoria da usinagem dos materiais**. 2. ed. São Paulo: Blücher, 2011.
- sdfasfa

- 50) Em relação à cladização, um dos métodos preventivos contra a corrosão, assinale a alternativa correta.

- a) É o processo mais comum de revestimento metálico, usando zinco como material de base.
- b) Os produtos, em geral, têm forma cilíndrica, com superfícies polidas a serem banhadas com ligas de alumínio.
- c) **Consiste em colocar-se o metal ou liga a ser protegida entre camadas de outro metal de maior resistência à corrosão.**
- d) Na cladização consegue-se uma composição homogênea e constante de zinco, desde a superfície livre do corpo a ser protegido até uma profundidade de vários milímetros.

JUSTIFICATIVA DA ALTERNATIVA CORRETA: (LETRA C)

A cladização é aplicada a produtos laminados, não é o processo mais comum e não utiliza zinco, o que ocorre na galvanização. Assim a alternativa correta é C.

Fontes:

- CHIAVERINI, Vicente. **Tecnologia mecânica: processos de fabricação e tratamento**. 2. ed. São Paulo: Mcgraw-Hill, 1986.
- GENTIL, Vicente. **Corrosão**. 3. ed. Rio de Janeiro: LTC, 1996.
- MACHADO, Álisson Rocha *et al.* **Teoria da usinagem dos materiais**. 2. ed. São Paulo: Blücher, 2011.

- 51) Quanto aos processos de fundição, assinale a alternativa correta.

- a) Na fundição de precisão, o modelo é usado uma única vez, mas o molde pode ser reaproveitado.
- b) **A moldagem em areia seca ou em molde estufado pode ser empregada com peças de qualquer dimensão ou peso, sempre que se exige um melhor acabamento.**
- c) O emprego de moldes permanentes metálicos oferece vantagens econômicas em relação aos moldes de areia, quando usado para peças maiores, pela facilidade de fabricação.
- d) A fundição sob pressão é o método ideal para peças pesadas, com mais de 100 kg, pois o fluxo de material fundido tem maior velocidade e penetração do que nos outros processos.

JUSTIFICATIVA DA ALTERNATIVA CORRETA: (LETRA B)

Na fundição de precisão tanto o molde quanto o modelo são usados uma única vez. A fundição sob pressão não é indicada para peças com mais de 25kg. Os moldes permanentes são de fabricação cara e, geralmente, são usados para grandes séries de pequenas peças.

Fontes:

- CHIAVERINI, Vicente. **Tecnologia mecânica: processos de fabricação e tratamento**. 2. ed. São Paulo: Mcgraw-Hill, 1986.
- GENTIL, Vicente. **Corrosão**. 3. ed. Rio de Janeiro: LTC, 1996.
- MACHADO, Álison Rocha *et al.* **Teoria da usinagem dos materiais**. 2. ed. São Paulo: Blücher, 2011.

52) Uma máquina de *Carnot* recebe 2800J por ciclo de uma fonte a 527°C e cede calor a uma fonte fria a 127°. O rendimento, o trabalho realizado e a quantidade de calor cedida à fonte fria, por ciclo, são, respectivamente,

- a) 0,42; 1.176 J e 1.624 J.
- b) 0,43; 1.204 J e 1.596 J.
- c) 0,33; 933,33 J e 1.866,00 J.
- d) 0,50; 1.400 J e 1.400 J.**

JUSTIFICATIVA DA ALTERNATIVA CORRETA: (LETRA D)

O rendimento $\eta = 1 - T_1 / T_2 = 1 - (127 + 273)/(527 + 273) = 0,5$ ou 50%. $H = W/Q_1$, então $W = 0,5 \times 2800J = 1400J$. $E W = Q_1 - Q_2 = 2800 - Q_2$ e $Q_2 = 1400J$.

Fontes:

- ÇENCEL, Y. A.; BOLES, M. A. **Termodinâmica**. 5. ed. São Paulo: Mc-Graw Hill, 2006.
- SONNTAG, R. E. ; BORGNAKKE, C. **Introdução à Termodinâmica para Engenharia**. Rio de Janeiro: LTC, 2003.
- VAN WYLLEN, G. J. **Fundamentos de termodinâmica clássica**. 4. ed. São Paulo: Edgard Blücher, 1998.

53) Em um processo isobárico, 10 kg de água, inicialmente líquida, evaporam completamente a uma temperatura de 100°C. O calor de evaporação da água é $5,4 \times 10^5 \text{ cal.kg}^{-1}$. Qual a variação da entropia no processo em cal/K?

- a) 12.477.
- b) 14.477.**
- c) 52.999.
- d) 53.999.

JUSTIFICATIVA DA ALTERNATIVA CORRETA: (LETRA B)

No caso, $\Delta S = Q/T = 10 \times 5,4 \times 10^5 / (100 + 273) = 14.477 \text{ cal/K}$.

Fontes:

- ÇENCEL, Y. A.; BOLES, M. A. **Termodinâmica**. 5. ed. São Paulo: Mc-Graw Hill, 2006.
- SONNTAG, R. E. ; BORGNAKKE, C. **Introdução à Termodinâmica para Engenharia**. Rio de Janeiro: LTC, 2003.
- VAN WYLLEN, G. J. **Fundamentos de termodinâmica clássica**. 4. ed. São Paulo: Edgard Blücher, 1998.

54) Uma amostra com 10 mol de um gás ideal, com capacidade térmica molar a volume constante de 2,0 cal/mol K, muda de um estado A ($P = 1 \text{ atm}$, $T = 57^\circ\text{C}$) para um estado B ($P = ?$, $T = 357^\circ\text{C}$). Qual a variação da energia interna da amostra, decorrente da mudança de estado AB?

- a) 3000 cal.
- b) 6000 cal.**
- c) Não é possível informar sem conhecer a pressão no estado B.
- d) Não é possível informar sem conhecer a natureza do processo AB.

JUSTIFICATIVA DA ALTERNATIVA CORRETA: (LETRA B)

A variação da energia interna de um gás ideal depende apenas da temperatura, conforme se verifica a seguir: $\Delta U = nC_{MV}(T_2 - T_1) = 10 \times 2 \times [(357 + 273) - (57 + 273)] = 6.000 \text{ cal}$.

Fontes:

- ÇENCEL, Y. A.; BOLES, M. A. **Termodinâmica**. 5. ed. São Paulo: Mc-Graw Hill, 2006.
- SONNTAG, R. E. ; BORGNAKKE, C. **Introdução à Termodinâmica para Engenharia**. Rio de Janeiro: LTC, 2003.
- VAN WYLLEN, G. J. **Fundamentos de termodinâmica clássica**. 4. ed. São Paulo: Edgard Blücher, 1998.

55) Em uma tubulação com diâmetro interno de 50mm circula um fluido newtoniano com velocidade 3,2 m/s. A massa específica do fluido é 910 kg.m^{-3} e a sua viscosidade dinâmica é $0,4 \text{ N.s.m}^{-2}$. Qual é o número de Reynolds do fluido?

- a) 332.
- b) 354.
- c) 364.
- d) 372.

JUSTIFICATIVA DA ALTERNATIVA CORRETA: (LETRA C)

Com base nos dados apresentados, define-se o número de Reynolds da seguinte forma:

$$Re = VD / \nu = VD\rho / \mu = 50 \times 10^{-3} \times 3,2 \times 910 / 0,40 = 364.$$

Fontes:

- ÇENÇEL, Y. A.; BOLES, M. A. **Termodinâmica**. 5. ed. São Paulo: Mc-Graw Hill, 2006.
- SONNTAG, R. E. ; BORGNAKKE, C. **Introdução à Termodinâmica para Engenharia**. Rio de Janeiro: LTC, 2003.
- VAN WYLLEN, G. J. **Fundamentos de termodinâmica clássica**. 4. ed. São Paulo: Edgard Blücher, 1998.

56) Duas barras de materiais distintos e diâmetros diferentes estão alinhadas concentricamente e isoladas do meio externo, de modo que ocorre apenas condução térmica através delas. A extremidade mais quente está a 400°C e a mais fria, a 100°C . Uma barra tem o dobro do comprimento da outra, e a área de sua seção transversal é o dobro da área da outra barra. A condutividade térmica da barra mais fina é o dobro da condutividade da barra mais longa. A temperatura na junção das duas barras é

- a) 100°C .
- b) 150°C .
- c) 200°C .
- d) 300°C .

JUSTIFICATIVA DA ALTERNATIVA CORRETA: (LETRA D)

O fluxo de calor nas duas barras é o mesmo, já que estão isoladas do ambiente. Assim:

$$(T_1 - T_2) / (T_2 - T_3) = (L_1 A_2 \lambda_2) / (L_2 A_1 \lambda_1), \quad T_3 = 100^\circ\text{C}; \quad T_1 = 400^\circ\text{C}.$$

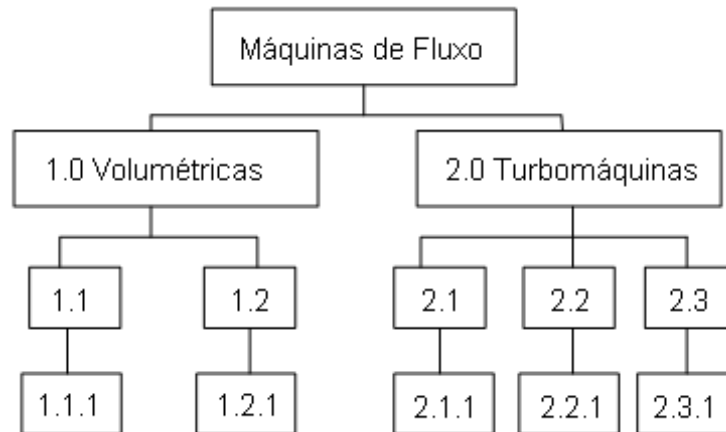
Substituindo as demais relações, tem-se: $T_2 = 300^\circ\text{C}$.

Fontes:

- INCROPERA, F. P.; DEWITT, D. P. **Fundamentos de Transferência de Calor e de Massa**. 6. ed. Rio de Janeiro: LTC, 2011.
- FOX, Robert W.; McDONALD, Alan T.; PRITCHARD, Philip J. **Introdução à Mecânica dos Fluidos**. 5. ed. Rio de Janeiro: LTC, 1998.

57) As máquinas de fluxo podem ser classificadas em duas grandes categorias e em outras cinco subcategorias. Para cada uma dessas subcategorias há, também, diferentes tipos de máquinas. No diagrama da figura abaixo os blocos numerados correspondem a essa classificação. No quadro fornecido a seguir constam designações típicas de máquinas de fluxo numeradas em algarismos romanos.

Classificação das máquinas de fluxo



A – a gás	B – a vapor	C – alternativas	D – axiais
E – bomba	F – centrífugas	G – com pistão	H – de diafragma
I – de engrenagens	J – de lóbulos	K – de palhetas	L – de parafuso
M – eólica	N – hidráulica	O – mistas	P – rotativas
Q – turbina	R – ventilador		

Considerando a relação entre as designações do quadro e as classificações dos blocos, assinale a alternativa correta. (As designações podem corresponder a mais de uma classificação.)

- a) 1.1-P; 1.2-C; 1.1.1-G-H; 1.2.1-I-J-K-L; 2.1-E; 2.2-R; 2.3-Q; 2.1.1-D-F-O; 2.2.1-D-F-O; 2.3.1-A-B-M-N
 b) 1.1-C; 1.2-P; 1.1.1-G-H; 1.2.1-I-J-K-L; 2.1-Q; 2.2-R; 2.3-E; 2.1.1-D-F-O; 2.2.1-D-F-O; 2.3.1-A-B-M-N
 c) 1.1-C; 1.2-P; 1.1.1-G-H; 1.2.1-I-J-K-L; 2.1-E; 2.2-R; 2.3-Q; 2.1.1-D-F-O; 2.2.1-D-F-M; 2.3.1-A-B-N-P
 d) 1.1-C; 1.2-P; 1.1.1-G-H; 1.2.1-I-J-K-L; 2.1-E; 2.2-R; 2.3-Q; 2.1.1-D-F-O; 2.2.1-D-F-O; 2.3.1-A-B-M-N

JUSTIFICATIVA DA ALTERNATIVA CORRETA: (LETRA D)

Analisando a imagem apresentada, pode-se inferir que a alternativa correta é a “D”.

Fontes:

- MACINTYRE, Archibald J. **Bombas e Instalações de Bombeamento**. 2. ed. São Paulo: LTC, 1997.
- MACINTYRE, Archibald J. **Ventilação Industrial e Controle da Poluição**. 2. ed. São Paulo: LTC, 1990.
- MATTOS, Edson Ezequiel de. **Bombas Industriais**. 2. ed. Rio de Janeiro: Interciência, 1998.
- SILVA, Napoleão Fernandes da. **Compressores Alternativos Industriais**. São Paulo: Interciência, 2009.

58) Em uma instalação de bombeamento, duas bombas são ligadas em série. O rendimento da segunda bomba é 0,95 da primeira e a altura de elevação da segunda é 1,15 da primeira. A razão entre o rendimento da associação em série e o rendimento da bomba 1 é

- a) 0,95.
 b) 0,96.
 c) 0,97.
 d) 0,98.

JUSTIFICATIVA DA ALTERNATIVA CORRETA: (LETRA C)

Na associação em série de bombas, o rendimento total $\eta_T = \eta_1 \eta_2 (H_1 + H_2) / (H_1 \eta_2 + H_2 \eta_1) = 0,97 \eta_1$.

Fontes:

- MACINTYRE, Archibald J. **Bombas e Instalações de Bombeamento**. 2. ed. São Paulo: LTC, 1997.
- MACINTYRE, Archibald J. **Ventilação Industrial e Controle da Poluição**. 2. ed. São Paulo: LTC, 1990.
- MATTOS, Edson Ezequiel de. **Bombas Industriais**. 2. ed. Rio de Janeiro: Interciência, 1998.
- SILVA, Napoleão Fernandes da. **Compressores Alternativos Industriais**. São Paulo: Interciência, 2009.

59) Em uma instalação industrial, um ventilador, de potência H , é usado em determinada rotação n_1 , produzindo uma vazão Q_1 e uma pressão P_1 . Deseja-se aumentar a vazão para Q_2 , alterando-se a velocidade do mesmo ventilador. A potência consumida para gerar Q_1 é H_1 e a $H_1/H = 0,125$. Qual será a maior razão Q_2/Q_1 possível?

- a) 2.
- b) 4.
- c) 6.
- d) 8.

JUSTIFICATIVA DA ALTERNATIVA CORRETA: (LETRA A)

Nos ventiladores, a vazão varia com a rotação, a pressão com o quadrado da rotação e a potência requerida com o cubo da rotação. Como a $H_1(n_1) = 1/8H$, a razão entre rotação atual e rotação máxima é $(8)^{1/3} = 2$. Logo, pode-se dobrar a rotação e a vazão.

Fontes:

- MACINTYRE, Archibald J. **Bombas e Instalações de Bombeamento**. 2. ed. São Paulo: LTC, 1997.
- MACINTYRE, Archibald J. **Ventilação Industrial e Controle da Poluição**. 2. ed. São Paulo: LTC, 1990.
- MATTOS, Edson Ezequiel de. **Bombas Industriais**. 2. ed. Rio de Janeiro: Interciência, 1998.
- SILVA, Napoleão Fernandes da. **Compressores Alternativos Industriais**. São Paulo: Interciência, 2009.

60) Uma placa de 1,0 m x 0,75 m é usada para aquecer ar. O ar, inicialmente a 20°C e 1atm, escoava sobre a placa e deve receber 3000W de calor. O coeficiente de transferência de calor por convecção é 75w/m²°C. Considerando apenas a troca de calor por convecção, a temperatura na qual a placa deve ser mantida é

- a) 80°C.
- b) 60,50°C.
- c) 73,33°C.
- d) 120,33°C.

JUSTIFICATIVA DA ALTERNATIVA CORRETA: (LETRA C)

Na convecção, o calor fornecido pela placa é $q = Ah (T_s - T_\infty)$ e $T_s = 53,33 + 20^\circ = 73,33^\circ\text{C}$.

Fontes:

- INCROPERA, F. P.; DEWITT, D. P. **Fundamentos de Transferência de Calor e de Massa**. 6. ed. Rio de Janeiro: LTC, 2011..
- FOX, Robert W.; McDONALD, Alan T.; PRITCHARD, Philip J. **Introdução à Mecânica dos Fluidos**. 5. ed. Rio de Janeiro: LTC, 1998.